

ДИСТАНЦИОННОЕ ЗОНДИРОВАНИЕ АТМОСФЕРЫ
И ПОДСТИЛАЮЩЕЙ ПОВЕРХНОСТИ

УДК 551.521.32 : 551.510.53

А.И. Демьянников, А.А. Кутепов

ДИСТАНЦИОННОЕ ОПРЕДЕЛЕНИЕ ТЕМПЕРАТУРЫ МЕЗОСФЕРЫ ЗЕМЛИ
МЕТОДОМ МОДУЛЯЦИОННОЙ СПЕКТРОСКОПИИ С УЧЕТОМ НАРУШЕНИЯ ЛТР

Рассматривается влияние нарушения локального термодинамического равновесия (ЛТР) на точность термического зондирования мезосфера Земли с использованием метода модуляционной спектроскопии; проводится анализ физических причин этого влияния.

На основе численных экспериментов демонстрируется эффективность предложенной численной процедуры учета нарушения ЛТР и приводятся оценки ожидаемой точности.

Введение

При зондировании атмосферы из космоса наряду с методом спектральной фильтрации излучения широкое применение получили модуляционные методы. В работе [1] приводится описание измерительной системы, основой которой служит набор кювет с CO_2 , находящимся при периодически меняющемся давлении. По мнению авторов [1], система позволяет по измерениям уходящего в зенит излучения в 15-мкм полосе получить информацию о термическом режиме атмосферы в диапазоне высот от 40 до 90 км. Однако известно [2], что в атмосфере Земли для высот, больших 70 км, корректное описание переноса излучения в 15-мкм полосе невозможно без учета нарушения локального термодинамического равновесия (ЛТР).

Настоящая работа преследует цель: 1) ответить на вопрос о величине влияния нарушения ЛТР на точность восстановления температуры, используя упомянутый способ регистрации излучения и 2) провести анализ физических причин, обуславливающих это влияние.

Математическая формулировка задачи

Будем исходить из следующего выражения для интенсивности достигающего приемник излучения на частоте v в 15-мкм полосе:

$$I_v = \exp[-\tau_v(P_k, T_k)] \cdot \int_0^{z_{\max}} S(z) \frac{\partial}{\partial z} \left[\exp \left(- \int_z^{z_{\max}} \sigma_v(z') dz' \right) \right] dz + \\ + S(T_k) [1 - \exp(-\tau_v(P_k, T_k))]. \quad (1)$$

Здесь первое слагаемое описывает выходящее из атмосферы излучение, ослабленное кюветой с CO_2 , имеющей при давлении P_k и температуре T_k оптическую толщину τ_v , тогда как второе слагаемое — излучение самой кюветы; через S обозначена функция источников, через σ_v — объемный коэффициент поглощения монохроматического излучения. При записи (1) мы пренебрегли вкладом в I_v излучения подстилающей поверхности, что оправдывается наличием спектрального фильтра с пропусканием в центре 15-мкм полосы. Кроме того, параметры используемых на практике кювет ограничивают чувствительность измеряемого сигнала к свойствам атмосферы в диапазоне высот от 40 до 90 км [1].

Последнее обстоятельство позволяет также использовать при описании переноса излучения в атмосфере приближение изолированных линий. В этом приближении можно сравнительно просто учесть вклад в излучение всей совокупности спектральных линий, определяемой шириной пропускания упомянутого спектрального фильтра.

При модуляции давления его величина в кювете испытывает периодические изменения:

$$P_k = P_{k0} + \Delta P_k \cdot \sin \omega t, \quad (2)$$

и регистрируется не интенсивность излучения, а глубина ее модуляции.

$$I_{M,V} = I_V(P_{\max}) - I_V(P_{\min}). \quad (3)$$

Интегрируя (3) с учетом (1) по частоте в пределах контура каждой отдельной спектральной линии и суммируя по всей определенной выше совокупности этих линий, получим искомую величину измеряемого сигнала:

$$I_M(P_{k0}) = \int_0^{z_{\max}} S(z) R_{LTP}(P_{k0}, z) dz, \quad (4)$$

где

$$R_{LTP}(P_{k0}, z) = \frac{\partial}{\partial z} \left\{ \sum_l \int_0^{\infty} d\nu e^{-\frac{\int_0^{z_{\max}} \sigma_{\nu,l}(z') dz'}{z}} \cdot [e^{-\tau_{\nu}(T_k, P_{\max})} - e^{-\tau_{\nu}(T_k, P_{\min})}] \right\} d\nu \quad (5)$$

— является весовой функцией модуляционного метода термического зондирования при условии ЛТР [1], записанной в приближении изолированных линий (индекс l используется для нумерации линий). Для упрощения записи R_{LTP} мы опустили слагаемое, обусловленное излучением кюветы, интенсивность которого нам всегда известна при условии неизменности со временем параметров кюветы. Будем также рассматривать вместо суммы всех колебательных переходов, образующих 15-мкм полосу CO₂, один фундаментальный переход основного изотопа CO₂. Последнее упрощение не носит принципиального характера и оправдано доминирующим вкладом в суммарную интенсивность 15-мкм полосы указанного выше перехода.

Далее, следуя [3], можно записать:

$$S(z) = \int_0^{z_{\max}} G(z, z') [1 - \Lambda(z')] B(z') dz', \quad (6)$$

где $B(z)$ — функция источников при условии ЛТР (функция Планка); $\Lambda(z)$ — вероятность выживания квантов при рассеянии с перераспределением по частотам; G — функция Грина, удовлетворяющая уравнению:

$$G(z, z'') = \frac{\Lambda(z)}{2} \int_0^{z_{\max}} K(z, z') G(z', z'') dz' + \delta(z - z'') \quad (7)$$

с ядром, описанным в [2].

Подставляя (6) в (4), получим:

$$I_M(P_{k0}) = \int_0^{z_{\max}} R(P_{k0}, z') B(z') dz', \quad (8)$$

где

$$R(P_{k0}, z') = \int_0^{z_{\max}} R_{LTP}(P_{k0}, z'') G(z'', z') [1 - \Lambda(z'')] dz'' \quad (9)$$

— весовая функция уравнения для определения температуры с учетом отклонения от ЛТР.

Пренебрежение отклонением от ЛТР, как это видно, означает замену в (4) $S(z)$ на $B(z)$ с сохранением в качестве весовой функции $R_{LTP}(P_{k0}, z)$. Соотношение же (8)–(9) описывает способ учета нарушения ЛТР при восстановлении температуры.

Анализ численных результатов

Подробное описание способа численного решения уравнений (4) и (8) можно найти в [4]. В его основу положено представление искомого профиля температуры атмосферы в виде отрезка ряда полиномов Чебышева с неизвестными коэффициентами. С увеличением числа членов такого ряда возрастает точность аппроксимации реальных температурных распределений атмосферы. Однако этому сопутствует одновременный рост среднеквадратической погрешности восстановления. Последнее обстоятельство связано с тем, что, следуя [1] при выборе параметров модуляционных кювет, можно получить лишь несколько весовых функций, максимумы которых находятся на различных высотах интересующего нас диапазона. Было найдено такое максимальное число членов полиномиального ряда N , которое обеспечивает еще устойчивое восстановление температурного профиля. Этому критерию удовлетворяет $N = 4$.

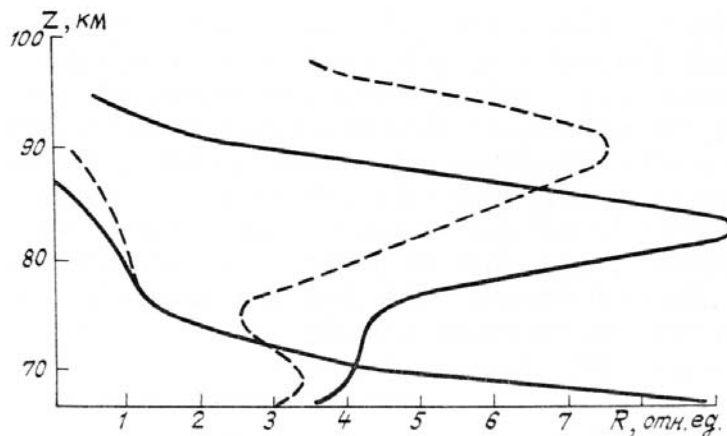


Рис. 1. Изменение весовых функций при учете нарушения ЛТР. Сплошная линия — весовая функция, учитывающая отклонение от ЛТР; штриховая — в приближении ЛТР

На рис. 1 приводятся весовые функции $R_{\text{ЛТР}}$ и R для двух значений P_{k0} , обеспечивающих при ЛТР максимум на высоте 60 и 90 км. Видно, что в первом случае (60 км) нарушение ЛТР заметным образом проявляется лишь при $z \gtrsim 80$ км. Во втором случае (90 км) максимум смещается вниз. Новое смещенное положение максимума весовой функции совпадает с положением максимума функции Грина $G(z, z')$ при $z > 80$ км и, таким образом, обусловлено процессами многократного рассеяния фотонов с перераспределением по частотам.

Аналогичный эффект влияния процессов многократного рассеяния можно обнаружить при анализе весовых функций интегрального уравнения для определения температуры по измерениям на касательных трассах в [3] с той лишь разницей, что при наклонном зондировании максимум весовой функции в области перигея зондирования, ярко выраженный при ЛТР, не пропадает совсем при учете нарушения ЛТР, а становится менее выраженным (см. рис. 2).

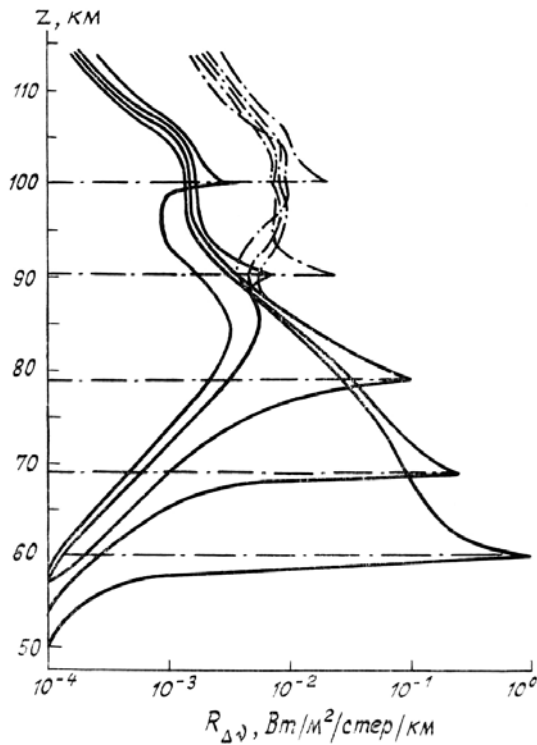


Рис. 2. Весовые функции уравнения термического зондирования на касательных трассах при различных перигеях зондирования [3]. Штрихпунктирные линии — приближение ЛТР (значение перигея зондирования задается точкой пересечения весовой функции с осью Oz); сплошная линия — с учетом отклонения от ЛТР при тех же прицельных параметрах

Горизонтальные участки кривых на рис. 2 отражают то обстоятельство, что при зондировании атмосферы на касательных трассах в приемник не попадают фотонны, излучаемые атмосферой, находящейся ниже перигея зондирования. Это справедливо лишь в приближении ЛТР. Из этого легко

узнать значение перигея зондирования

— по точке пересечения весовой функции в приближении ЛТР с осью $0z$.

Остановимся подробнее на физической природе величин, вошедших в (6) и (7). Пусть на некотором уровне z' в атмосфере излучается квант. С вероятностью $\frac{(\lambda)z}{2} K(z, z')$ этот квант в приближении полного перераспределения фотонов по частотам и линиям будет рассеян на уровне z [5].

Функции $K(z, z')$ связана с $\tilde{K}(\tau(z), \tau(z'))$, использованной в [2], следующим образом:

$$K(z, z') = \tilde{K}(\tau, \tau') \cdot \sigma_v(\tau') \quad (10)$$

и при больших оптических расстояниях между z и z' (z — в верхних, z' — в нижних слоях) ведет себя как $[/\tau - \tau'/]^{-2}$ [6], возрастаая по мере подъема уровня z' . Иначе ведет себя при этом значение объемного коэффициента поглощения $\sigma_v(z')$. Его зависимость от высоты при постоянстве отношения смеси CO_2 определяется зависимостью от высоты плотности атмосферы, экспоненциально падающей с ростом z' . Таким образом, $K(z, z')$ представляет собой произведение двух монотонных функций, одна из которых при фиксированном z растет с ростом z' , тогда как вторая убывает.

Это означает, что $K(z, z')$ должна иметь максимум при $z' \neq z$. Иными словами, существует некоторая локальная область в относительно плотной атмосфере, которая оказывает сильное влияние на формирование функции источников в разреженных слоях атмосферы. Вспоминая представление функции Грина в виде ряда по функциям, кратным $K(z, z')$ [5], становится понятной природа максимума у $G(z, z')$ и, как следствие, у $R(P_{k0}, z')$ по аргументу z' .

Для найденного значения N и построенных весовых функций $R_{\text{ЛТР}}$, R был поставлен численный эксперимент по восстановлению $T(z)$. Количество и параметры кювет с CO_2 соответствовали приведенным в [1], искомое температурное распределение — модели атмосферы CIRA-72. В качестве начального приближения использовалось $T_0 = 200$ К (изотермическая атмосфера).

Результаты эксперимента представлены на рис. 3. Решение задачи (8) было получено за три итерации. Видно, что при описанных условиях удается достигнуть точность восстановления $T(z)$ до 100 км не меньше, чем 4 К. Погрешность же, обусловленная пренебрежением нарушения ЛТР, уже на 90 км превышает 10 К. Выше 100 км восстановленный профиль оказывается лишь подобен истинному. Происходит это из-за малого влияния на величину сигнала атмосферы, лежащей выше данного уровня (см. рис. 1).

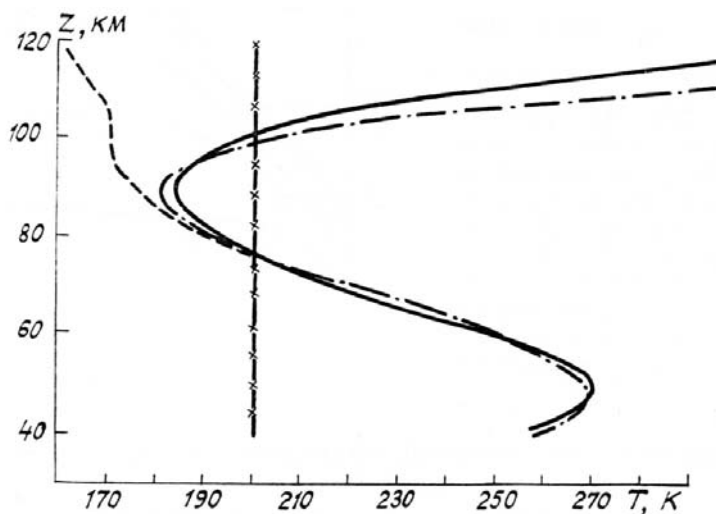


Рис. 3. Результаты восстановления температуры в численном эксперименте: сплошная линия — истинный профиль; —x—x— — начальное приближение $T_0 = 200$ °К; штрихпунктирная линия — восстановленный профиль после трех итераций; штриховая линия — профиль, восстановленный без учета нарушения ЛТР

Полученная оценка точности метода в значительной степени условна. Так, при попытке восстанавливать с его помощью профиль, имеющий волнобразную структуру, мы получили бы сглаженный профиль и погрешность восстановления порядка амплитуды этой волны.

В заключение авторы выражают благодарность В.В. Розанову за полезные обсуждения и советы.

1. Curtis P. D., Houghton J. T., Peskett G. D. e. a. //Proc. Roy. Soc. London. 1974. V. A337. P. 135–170.

2. Кутепов А.А., Швед Г.М. //Изв. АН СССР. Сер. ФАО. 1978. № 1. С. 28–43.
3. Демьянников А.И., Кутепов А.А. //Изв. АН СССР. Сер. ФАО. 1987. Т. 23. № 5. С. 510–518.
4. Демьянников А.И. Влияние нарушения ЛТР на точность определения температуры методом модуляционной спектроскопии. Деп. в ВИНТИ АН СССР. № 5177-В88 от 29 июня 1988 г. 11 с.
5. Иванов В.В. Перенос излучения и спектры небесных тел. М.: Наука, 1969. 472 с.
6. Кутепов А.А. Функции, встречающиеся в теории переноса излучения в полосах линейных молекул //Изв. АН СССР. Сер. ФАО. Т. 11. № 4. С. 408–411.

Ленинградский электротехнический институт
им. В.И. Ульянова (Ленина)

Поступила в редакцию
11 июля 1989 г.

A. I. Demjanikov, A. A. Kutepov. The Remote Determination of the Earth Mesosphere Temperature with LTB Upset Account by Molecular Spectroscopy Method.

The influence of the local thermodynamical balance (LTB) upset on the accuracy of the Earth mesosphere thermal sensing by modulational spectroscopy method is considered; the physical phenomena responsible for that influence are giving a test.

The effectivity of the suggested numerical procedure of the LTB upset account is demonstrated using the computational experiments and the expected accuracy estimations are presented.